ШЕСТОЙ МЕЖДУНАРОДНЫЙМОЛОДЕЖНЫЙ СИМПОЗИУМ

Физика бессвинцовых пьезоактивных и родственных материалов

(Анализ современного состояния и перспективы развития)

Physics of LEAD-FREE PIEZOACTIVE AND RELATED MATERIALS
(Analysis of current state and prospects of development)

LFPM202-06 CEHTREPR

Сборник трудов

Том II





МИНИСТЕРСТВО ОБРАЗОВАНИЯ И НАУКИ РОССИЙСКОЙ ФЕДЕРАЦИИ

Федеральное государственное автономное образовательное учреждение высшего образования «ЮЖНЫЙ ФЕДЕРАЛЬНЫЙ УНИВЕРСИТЕТ»

Научно-исследовательский институт физики

ЮЖНЫЙ НАУЧНЫЙ ЦЕНТР РАН

Молодежный физико-технический научно-инновационный центр ЮФУ–ЮНЦ РАН Совместный студенческий научно-исследовательский институт физического материаловедения ЮНЦ РАН – НИИ физики ЮФУ

Физика бессвинцовых пьезоактивных и родственных материалов Анализ современного состояния и перспективы развития

(LFPM-2017)

Выпуск 6

Труды Шестого Международного междисциплинарного молодежного симпозиума

(Ростов-на-Дону – Туапсе, 2–6 сентября 2017 г.)

Tom 2

Ростов-на-Дону – Таганрог 2017 УДК 620.22:537.226.86(063) ББК 32.843.4я43 Ф503

Подготовка и проведение симпозиума LFPM-2017, а также выпуск сборника трудов симпозиума осуществлены при финансовой поддержке Министерства образования и науки РФ в рамках выполнения государственного задания (проекты № 3.6371.2017/8.9, 3.6439.2017/8.9) и группы компаний «Кордон»

Редакционная коллегия:

Резниченко Л. А. – доктор физико-математических наук, профессор, зав. отделом интеллектуальных материалов и нанотехнологий НИИ физики Южного федерального университета, г. Ростов-на-Дону; Вербенко И. А. – доктор физико-математических наук, директор НИИ физики Южного федерального университета, г. Ростов-на-Дону; Павелко А. А. – кандидат физико-математических наук, директор молодежного физико-технического научно-инновационного центра ЮФУ – ЮНЦ РАН, зав. лабораторией диэлектрических и пьезоэлектрических измерений отдела активных материалов НИИ физики Южного федерального университета, г. Ростов-на-Дону; Андрюшина И. Н. – кандидат физико-математических наук, старший научный сотрудник отдела интеллектуальных материалов и нанотехнологий НИИ физики Южного федерального университета

Ф503 Физика бессвинновых пьезоактивных И родственных материалов. Анализ современного состояния и перспективы развития (LFPM-2017) = Physics of Lead-Free Piezoactive and Related Materials (Analysis of Current State and Prospects of Development) (LFPM-2017). Вып. труды Шестого Международного 6 междисциплинарного молодежного симпозиума (Ростов-на-Дону -Туапсе, 2-6 сентября 2017г.) : в 2 т. – Ростов-на-Дону; Таганрог : Издательство Южного федерального университета, 2017.

ISBN 978-5-9275-2471-6

Т.2.– 488 с.: ил.

ISBN 978-5-9275-2473-0 (T. 2)

В сборнике представлены труды Шестого Международного междисциплинарного молодежного симпозиума «Физика бессвинцовых пьезоактивных и родственных материалов. Анализ современного состояния и перспективы развития», посвященного проблемам разработки, создания, исследования и перспективам практического применения бессвинцовых пьезоактивных и родственных материалов, проходившего в Туапсе 2–6 сентября 2017 г.

Сборник предназначен для научных работников, преподавателей, аспирантов, студентов и прочих интересующихся современной наукой людей.

Публикуется в авторской редакции.

ISBN 978-5-9275-2473-0 (T. 2) ISBN 978-5-9275-2471-6 УДК 620.22:537.226.86(063)

ББК 32.843.4я43

- © Южный федеральный университет, 2017
- © Южный научный центр РАН, 2017

ОСОБЕННОСТИ ФОРМИРОВАНИЯ СТРУКТУРЫ ПЕРОВСКИТА В ОБЛАСТИ МОРФОТРОПНЫХ ГРАНИЦ В СИСТЕМЕ (Bi_{0.5}Na_{0.5})TiO₃-(Bi_{0.5}K_{0.5})TiO₃ - BiFeO₃

<u>Митрофанова А.В.</u>¹, Фортальнова Е.А.^{1, 2}, Сафроненко М.Г.¹, Политова Е.Д.², Мосунов А.В.² ¹ Российский университет дружбы народов, 117198, Москва, ул. Миклухо-Маклая, д. 6, chemistann@gmail.com

Исследовано фазообразование и физико-химические свойства перовскитоподобных твердых растворов в системах составов $(1-y)[(1-x)(\mathrm{Na}_{0.5}\mathrm{Bi}_{0.5})\mathrm{TiO}_3-x(\mathrm{K}_{0.5}\mathrm{Bi}_{0.5})\mathrm{TiO}_3]-y\mathrm{BiFeO}_3$, где $x=0.15,\ y=0.0$ –0.6, $\Delta y=0.1\ (\textit{NB1})$ и $(1-y)[(1-x)(\mathrm{Na}_{0.5}\mathrm{Bi}_{0.5})\mathrm{TiO}_3-x(\mathrm{K}_{0.5}\mathrm{Bi}_{0.5})\mathrm{TiO}_3]-y\mathrm{BiFeO}_3$, где $x=0.25,\ y=0.0$ –0.6, $\Delta y=0.1\ (\textit{NB2})$. Установлено увеличение объёма элементарной ячейки и температуры Кюри $(\mathrm{T_C})$ с ростом y. Выявлен немонотонный характер концентрационных зависимостей диэлектрических характеристик твёрдых растворов в интервале $0.1 \le y \le 0.2$, что указывает на прохождение морфотропной границы внутри этого концентрационного интервала.

STRUCTURE AND FERROELECTRIC PROPERTIES OF LEAD-FREE CERAMICS NEAR MORPHOTROPIC PHASE BOUNDARY (Bi_{0.5}Na_{0.5})TiO₃-(Bi_{0.5}K_{0.5})TiO₃ - BiFeO₃

A.V. Mitrofanova ¹, E.A. Fortalnova ^{1, 2}, M.G. Safronenko ¹, E.D. Politova ², A.V. Mosunov ² ¹ Peoples' Friendship University of Russia (RUDN University), 117198, Miklukho-Maklaya str. 6, 117198, Moscow, Russia, chemistann@gmail.com

²L.Ya.Karpov Institute of Physical Chemistry, Obukha s.-st., 3, Moscow, 105064, Moscow, Russia

Phase formation and physical - chemical properties of $(1-y)[(1-x)(Na_{0.5}Bi_{0.5})TiO_3-x(K_{0.5}Bi_{0.5})TiO_3] - yBiFeO_3$, rge x=0.15, y=0.0-0.6, $\Delta y=0.1$ (*NB1*) and $(1-y)[(1-x)(Na_{0.5}Bi_{0.5})TiO_3 - x(K_{0.5}Bi_{0.5})TiO_3] - yBiFeO_3$, rge x=0.25, y=0.0-0.6, $\Delta y=0.1$ (*NB2*) was studied. The BiFeO_3 addition stimulated increase in the unit cell volume and in the Curie temperature Tc. The region of the morphotropic phase transition is located in the composition range of $0.1 \le y \le 0.2$ according to the concentration dependences of the dielectric characteristics.

В настоящее время перовскиты и перовскитоподобные соединения обрели широкое применение и стали основой для создания многих функциональных материалов, вследствие простоты кристаллической структуры и большого разнообразия составов [1].

Особое внимание привлекают к себе висмут содержащие системы со структурой перовскита в связи с поиском сегнетоэлектрических и пьезоэлектрических материалов, не содержащих экологически вредного свинца и удовлетворяющих современным техническим требованиям [2].

Выбор бессвинцовых титанатов натрия висмута (или NBT) и калия висмута (или KBT) в качестве базовых компонентов обусловлен тем, что они образуют непрерывный ряд твёрдых растворов, а составы NBT:КВТ \approx 4:1 проявляют наилучшие пьезоэлектрические свойства [8]. Введение в состав твёрдых растворов на основе NBT–КВТ известного сегнетоэлектрика – феррита висмута BiFeO₃, являющегося структурным аналогом NBT и КВТ, и также обладающего высокой температурой Кюри (T_C =810°C), представляет интерес не только с точки зрения улучшения функциональных свойств керамик на основе NBT–КВТ, но также с позиции исследования фазовых равновесий в такой системе и определения в ней областей морфотропных фазовых границ.

Синтез твёрдых растворов проводили по керамической технологии из карбонатов калия и натрия и оксидов висмута(III), железа(III) и титана(IV). Фазообразование и физико-химические свойства твёрдых растворов исследовали методами РФА (ДРОН-3 и ДРОН-7, λ Cu_{K α} = 1.54056 Å), ДТА (SDT Q–600, Δ T = 25–1000°C, υ = 5 град/мин), ИК-спектроскопии (Nicolet 6700, 4000–400 см⁻¹ в таблетках с КВг, НПВО (Pike), алмаз) и диэлектрической спектроскопии (НР 4284A, Δ T = 25–1000°, f = 100 Γ ц – 1 М Γ ц (1 B), Ад-электроды).

² Научно-исследовательский физико-химический институт им. Л.Я. Карпова, Россия, 105064, Москва, пер. Обуха, д. 3-1/12, стр. 6

Взаимодействие исходных компонентов в исходной шихте NB1, NB2 протекает в области температур ~ 550 – 700° С, независимо от состава (x, y). Потеря массы, связанная с удалением CO_2 из исходных карбонатов в результате взаимодействия компонентов начинается во всех смесях при температуре $\sim 550^{\circ}$ С. Данную температуру можно считать температурой начала реакции (рис.1). С учётом этого, для изучения процессов, протекающих при образовании твёрдых растворов NB1и NB2 были выбраны следующие условия: T_1 = 800° С (6 часов), T_2 = 980° С (6 часов) с промежуточной перешихтовкой. В дальнейшем, вторая стадия синтеза была проведена повторно при T_2 = 1050° С (3 часа) для получения плотных керамик NB1и NB2 составов с y=0.0–0.3.

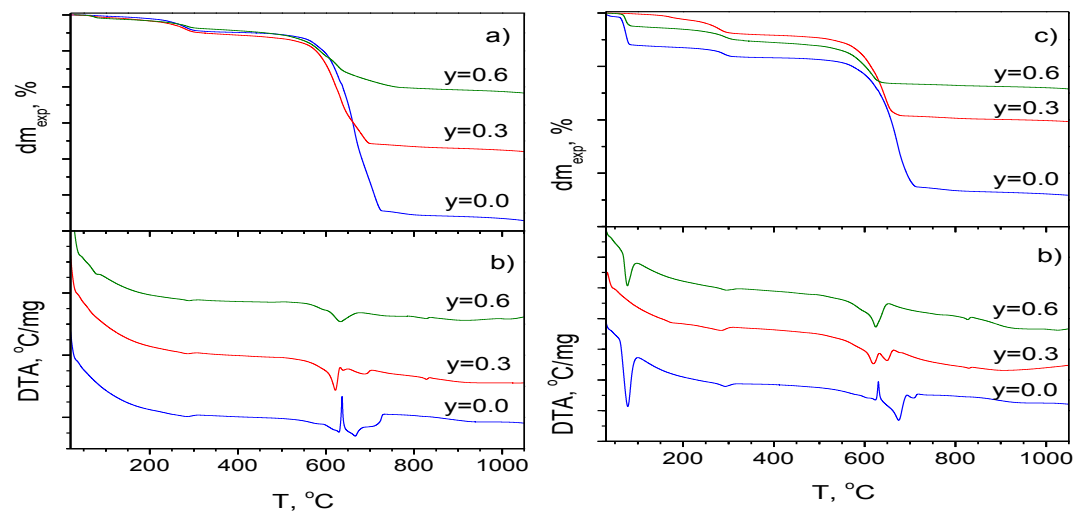


Рисунок 1. ДТА исходных смесей системы NB1(a, b) и NB2 (c, d).

Согласно результатам РФА на первой стадии синтеза в составе всех образцов преобладает фаза твердого раствора на основе титаната натрия висмута. Все образцы являются многофазными. Найденные на этой стадии фазы относятся к твердым растворам на основе NBT и феррита висмута и их слоистых производных (табл.1).

Таблица 1. Фазовый состав образцов *NB1* и *NB2* на разных стадиях ситеза (* - присутствие фазы наиболее выражено на дифрактограммах).

	Cостав, y	Фазы
$T_1 = 800^{\circ} \text{C (6 часов)}$	0.0	Na _{0.5} Bi _{0.5} TiO ₃ *, Na _{0.5} Bi _{4.5} Ti ₄ O ₁₅
	0.1	Bi ₅ FeTi ₃ O ₁₅ *, Na _{0.5} Bi _{0.5} TiO ₃ , Na _{0.5} Bi _{4.5} Ti ₄ O ₁₅
	0.2 - 0.6	Bi ₅ FeTi ₃ O ₁₅ , Na _{0.5} Bi _{0.5} TiO ₃ *, BiFeO ₃ *, Na _{0.5} Bi _{4.5} Ti ₄ O ₁₅
$T_2 = 980^{\circ} \text{C (6 часов)}$	0.0 - 0.2	$Na_{0.5}Bi_{0.5}TiO_3*$
	0.3 - 0.5	$Na_{0.5}Bi_{0.5}TiO_3*$, $Bi_5FeTi_3O_{15}$ (следы)
	0.6	$Na_{0.5}Bi_{0.5}TiO_3*$
$T_2 = 1050$ °C (3 часа)	0.0 - 0.3	Na _{0.5} Bi _{0.5} TiO ₃ *

Отжиг образцов NB1 и NB2 при $T_2 = 980$ °C (6 часов) приводит к завершению фазообразования в последних образцах обеих систем (y = 0.5, 0.6). В середине рядов (y = 0.3, 0.4), кроме основной фазы перовскитоподобного твердого раствора на основе NBT, установлено присутствие фазы слоистого титаната железа висмута в следовых количествах (рис. 2).

В начальных составах обеих серий (y = 0.0 - 0.2) на этой стадии также образуются гомогенные твёрдые растворы. Однако керамики этих составов характеризовались низкой плотностью, поэтому был проведен дополнительный отжиг при 1050°C. Этот отжиг существенно увеличивает плотность керамик и не приводит к изменению фазового состава

первых образцов ряда, а в образце с y = 0.3 завершается фазообразование твёрдого раствора (табл.1).

Смещение рефлексов на дифрактограммах полученных твёрдых растворов NB1, NB2 в область меньших углов 2θ указывает на увеличение объёма элементарной ячейки с ростом y и косвенно подтверждает частичное замещение катионов Ti^{4+} ионами Fe^{3+} (рис.2).

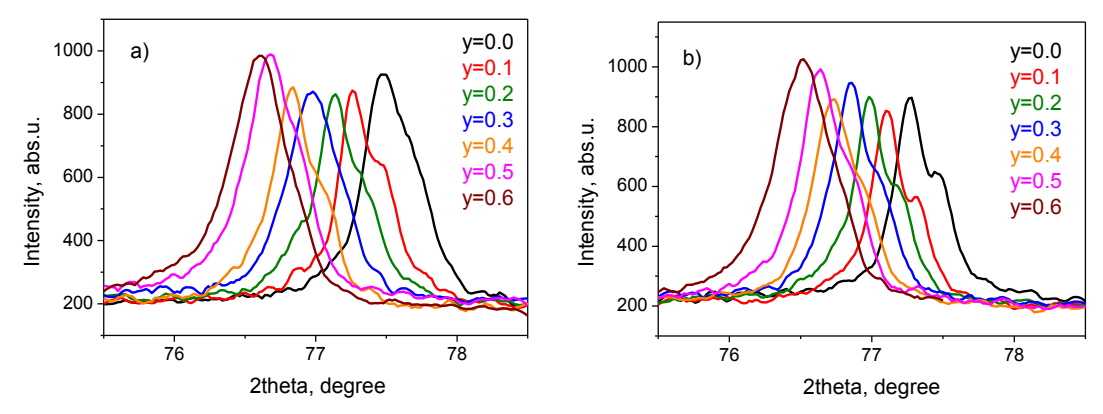


Рисунок 2. Профиль рефлекса с hkl = 310 на дифрактограммах твёрдых растворов систем NB1(a) и NB2(b) после отжига при $T_2 = 980$ оС (6 часов).

Профиль характеристического рефлекса с hkl = 310 на дифрактограммах образцов систем NB1, NB2 позволяет предположить, что полученные твердые растворы характеризуются ромбоэдрическим искажением элементарной ячейки [3]. С увеличением значения y средний параметр перовскитной ячейки ($a = V^{1/3}$, Å) в обеих системах возрастает, что связано с введением в подрешетку титана катионов железа(III) с большим ионным радиусом. В системе NB2 средний параметр перовскитной ячейки характеризуется более высокими значениями по сравнению с аналогичным средним параметром системы NB1, вследствие большей концентрации катионов K^+ в подрешетке A перовскитной структуры (ABO_3) (рис. 3).

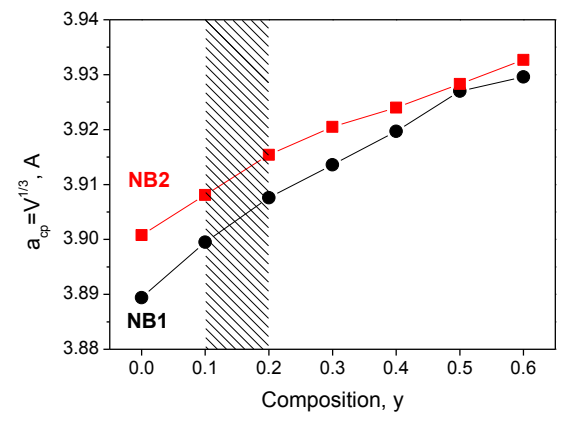


Рисунок 3. Концентрационная зависимость среднего параметра элементарной ячейки (a = V1/3, Å) твердых растворов *NB1* и *NB2*.

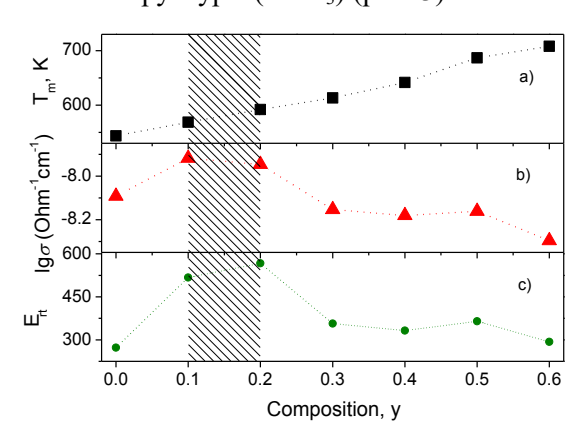


Рисунок 4. Концентрационные зависимости значений Tm (a), $\lg \sigma(b)$ и $\varepsilon_{\rm rl}(c)$ для образцов системы NB1, полученных при $T_1 = 980^{\circ}{\rm C}$ (6 часов), $T_2 = 1050^{\circ}{\rm C}$ (3 часа), измеренных при f=1 кГц.

Результаты ИК-спектроскопического анализа подтверждают данные РФА об образовании перовскитоподобного твёрдого раствора в образцах систем NB1, NB2. Все полученные спектры характеризуются одинаковым набором полос поглощения, что указывает на их изоструктурность. Проявляющиеся в ИК-спектрах всех исследованных образцов широкие полосы поглощения в диапазоне волновых чисел $\sim 980-780~{\rm cm}^{-1}$ и $\sim 780-445~{\rm cm}^{-1}$ характеризуют валентные колебания связей Me–O в октаэдрах BO_6 структуры перовскита с тетрагональным искажением. Однако, в спектрах образцов начала ряда с y=0.0-0.3 наблюдается расщепление полос поглощения, указывающее на более низкий тип симметрии кристаллической решётки.

полученные данные позволяют предположить присутствие в образцах обеих исследованных систем твёрдых растворов с различными типами искажений элементарной перовскитной ячейки - тетрагональным и ромбоэдрическим, что является характерным признаком морфотропной границы.

На температурных зависимостях диэлектрической проницаемости (ε) и логарифма проводимости ($\lg \sigma$), которые имеют одинаковый общий вид для всех образцов обеих систем, проявляются частотно зависимые и частотно независимые аномалии. Частотно зависимые относятся к релаксационным процессам, а частотно независимые – к морфотропному фазовому переходу. Температура этого перехода значительно возрастает с ростом у (рис. 4(a)).

Анализ зависимостей диэлектрических характеристик твёрдых растворов NB1, NB2 выявил немонотонный характер их концентрационной зависимости в интервале $0.1 \le y \le 0.2$. Отклонения от монотонности указывают на прохождение морфотропной границы внутри этого концентрационного интервала (рис. 4).

Работа выполнена при поддержке РФФИ (Грант № 15-03-03269).

Литература.

- 1. Акбашев А.Р., Кауль А.Р. Структурные и химические аспекты создания материалов со свойствами мультиферроиков // Успехи химии. 2011. Т. 80. Вып. 12. С. 1211-1230.
- 2. Олехнович Н.М., Пушкарев А.В., Радюш Ю.В. Диэлектрические характеристики релаксорного состояния перовскитной керамики $0.9(\mathrm{Na}_{1-x}\mathrm{K}_x\mathrm{Bi})_{1/2}\mathrm{TiO}_3-0.1\mathrm{Bi}(\mathrm{ZnTi})_{1/2}\mathrm{O}_3$ вблизи морфотропной фазовой границы // Физика твердого тела. 2013. Т. 55. Вып. 10.
- 3. Фесенко Е.Г. Семейство перовскита и сегнетоэлектричества. // М.: Атомиздат, 1972. –248с.
- 4. Anjali K., Ajithkumar T. G., Joy P. A. Correlations between structure, microstructure, density and dielectric properties of the lead-free ferroelectrics Bi_{0,5}(Na,K)_{0,5}TiO₃ // Journal of Advanced Dielectrics. 2015. V. 5. №4.
 - 5. Zhou C., Liu X., Li W.Z., Yuan C. Structure and piezoelectric properties of Na_{0,5}Bi_{0,5}TiO₃-K_{0,5}Bi_{0,5}TiO₃-BiFeO₃ lead-free piezoelectric ceramics. // Materials Chemistry and Physics. 2009. V. 114(2-3), PP. 832-836.
- 6. Choi J. H., Yoshimura T., Fujimura N. Effects of (Bi_{1/2}Na_{1/2})TiO₃ on the electrical properties of BiFeO₃-based thin films // Japanese Journal of Applied Physics. 2016. V.55.
- 7. Hussain A., Maqbool A., Malikl R. A., Kim M. H., Song T. K., Kim W. J. Structural and electromechanical properties of Na_{0,5}Bi_{0,5}TiO₃ ceramics produced by different synthesis routes // Indian Journal of Physics. 2016. V. 90(2), PP. 131-138.
- 8. Isupov V. A. Ferroelectric Na_{0,5}Bi_{0,5}TiO₃ and K_{0,5}Bi_{0,5}TiO₃ Perovskites and Their Solid Solutions // Ferroelectrics. –2005. V. 315(1).
- 9. Krad I., Bidault O., Geoffroy N., Maaoui M. EL Preparation and characterization of K_{0,5}Bi_{0,5}TiO₃ particles synthesized by a stirring hydrothermal method // Ceramics International. 2016. V. 42, PP. 3751-3756.
- 10. Scott J. F. Applications of modern ferroelectrics // Science. 2007. №315, P. 954.

Научное издание

Физика бессвинцовых пьезоактивных и родственных материалов

Анализ современного состояния и перспективы развития

(LFPM-2017)

Выпуск 6

Труды Шестого Международного междисциплинарного молодежного симпозиума

(Ростов-на-Дону – Туапсе, 2–6 сентября 2017 г.)

Tom 2

Научное редактирование – проф. Резниченко Л. А. Техническое редактирование – Андрюшина И. Н.

Подписано в печать 28.08.2017. Формат 60×84 1/8. Усл. печ. л. 56,73. Уч.-изд. л. 52,46. Бумага офсетная. Тираж 100 экз. Заказ № 5905.

Отпечатано в отделе полиграфической, корпоративной и сувенирной продукции Издательско-полиграфического комплекса КИБИ МЕДИА ЦЕНТРА ЮФУ 344090, г. Ростов-на-Дону, пр. Стачки, 200/1. Тел. (863) 247-80-51.